

פלטפורמות בגובה רב SQSP למסרי תקשורת,
מכ"ם, חישה מרחוק והעברת אנרגיה באלחוט מן
הקרקע למטרות התראה והרתעה

פרופסור יעקב גוון HIT Fellow IEEE



World Map of Stratospheric / HAPS Activities



מערכות תקשורת והתראה באמצעות לוויינים

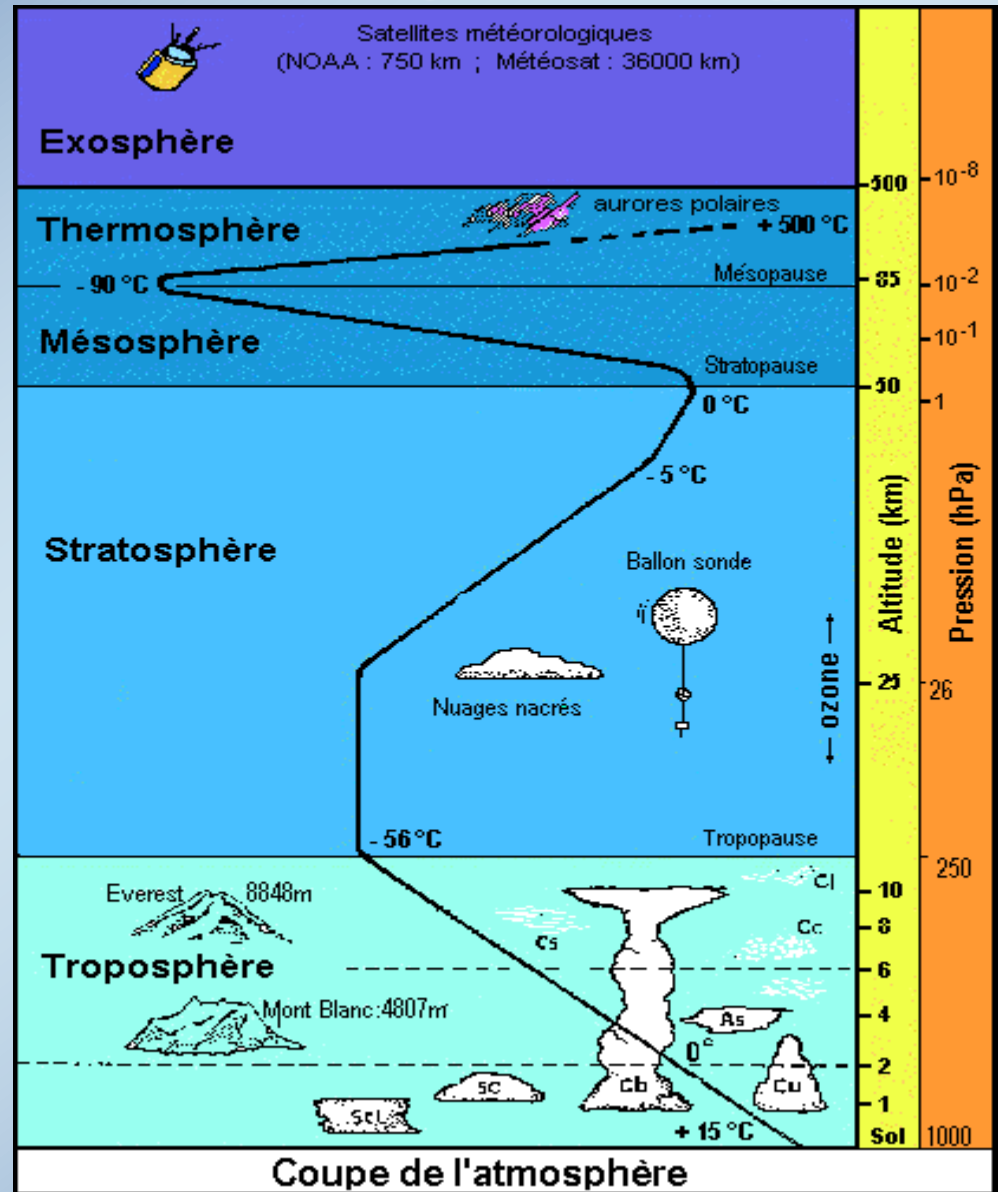
ופלטפורמות בסטרטוספירה SQSP ו HAP

- ✦ לוויינים במסלול גאוסטציונרי בגובה 36 אלף ק"מ במסלול מעל לקו המשווה. כ לווייני עמוס.
- ✦ לווייני ניווט במסלול בגובה כ20000ק"מ כ GPS
- ✦ לוויינים במסלול בינוני MEO בגובה בין 4,000 ל-8,000 ק"מ כלווייני O3B
- ✦ לוויינים במסלול נמוך LEO בגובה בין 300 ל-2,000 ק"מ כ IRIDIUM ו VLEO בין 150 ל-300 ק"מ
- ✦ פלטפורמות בסטרטוספירה SQSP בגובה בין 17 ל-24 ק"מ. ZEPHIR ו AALTO ככלי טייס כבד מאוויר ו AEROSTAT ו בלונים קלים מן האוויר.
- ✦ פלטפורמות באטמוספירה HAPs בגובה מתחת ל- ק"מ17 ,Heron ,Advanced Hawkeye Airborne Platforms

Why Stratospheric (SQSP)?

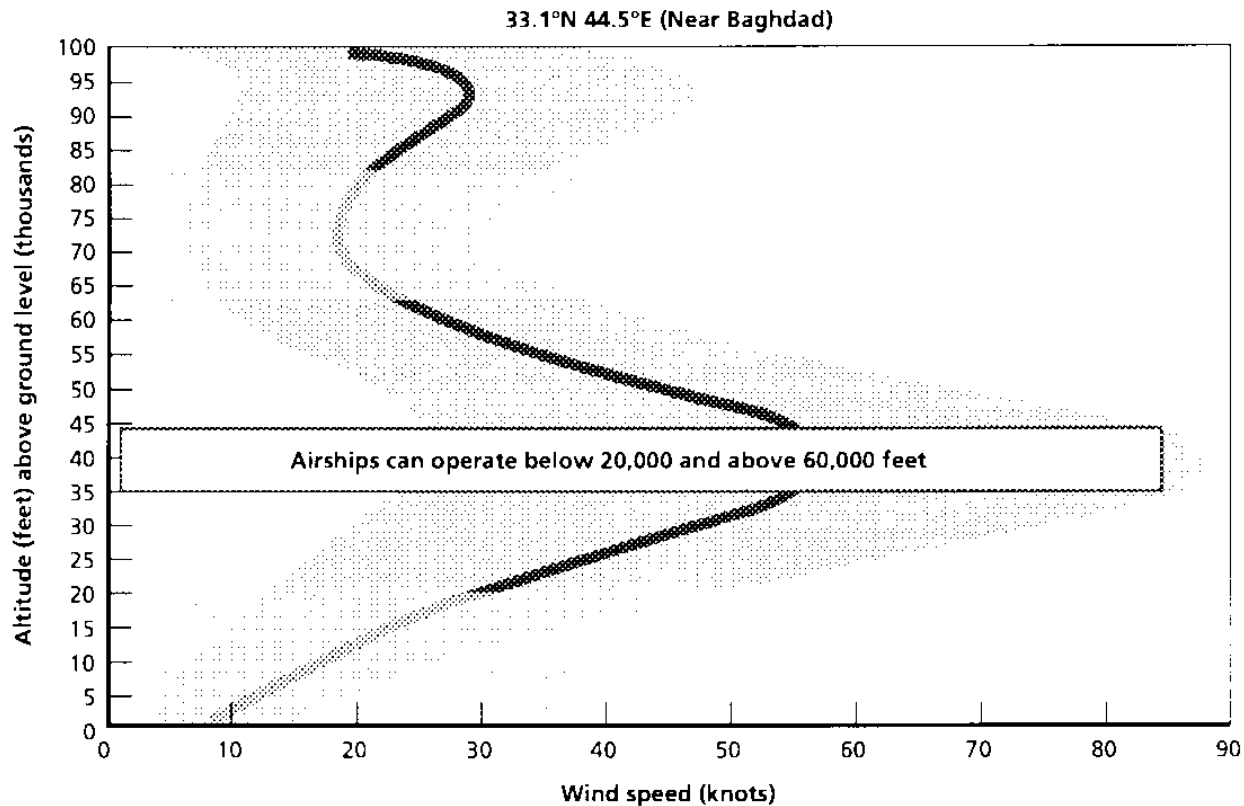
✦ Atmospheric Structure The temperature Effect

Minimum temperature. is equivalent to minimum copper losses, thermal noise, and power dissipations problems and maximum receiver sensitivity.



The Wind Factor

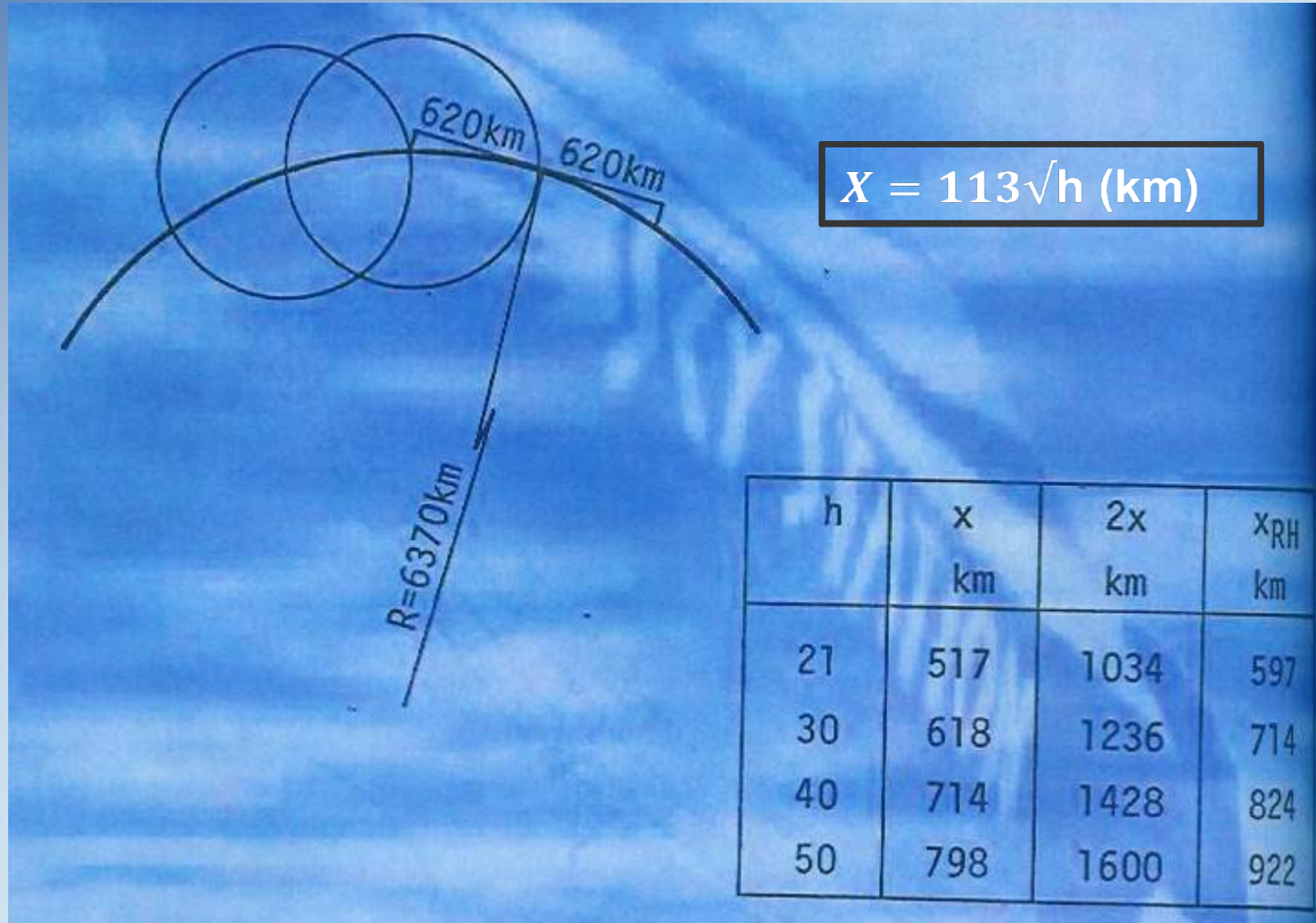
Figure S.1
Annual Winds Aloft Near Baghdad



NOTE: Summary product created from raw weather data collections provided by AFCCC/DOPT (Asheville, North Carolina) dated from 1958 through 1990.

SOURCE: Stephen Huett, Director, Advanced Development Program Office for Airship Concepts, Naval Air Systems Command, "Current State-of-the-Art for LTA Systems," briefing, January 2005. Used with permission.

Line Of Site (LOS) Distance as Function of the Altitude



* **Operation Radius and Diameter as function of HAPS height**

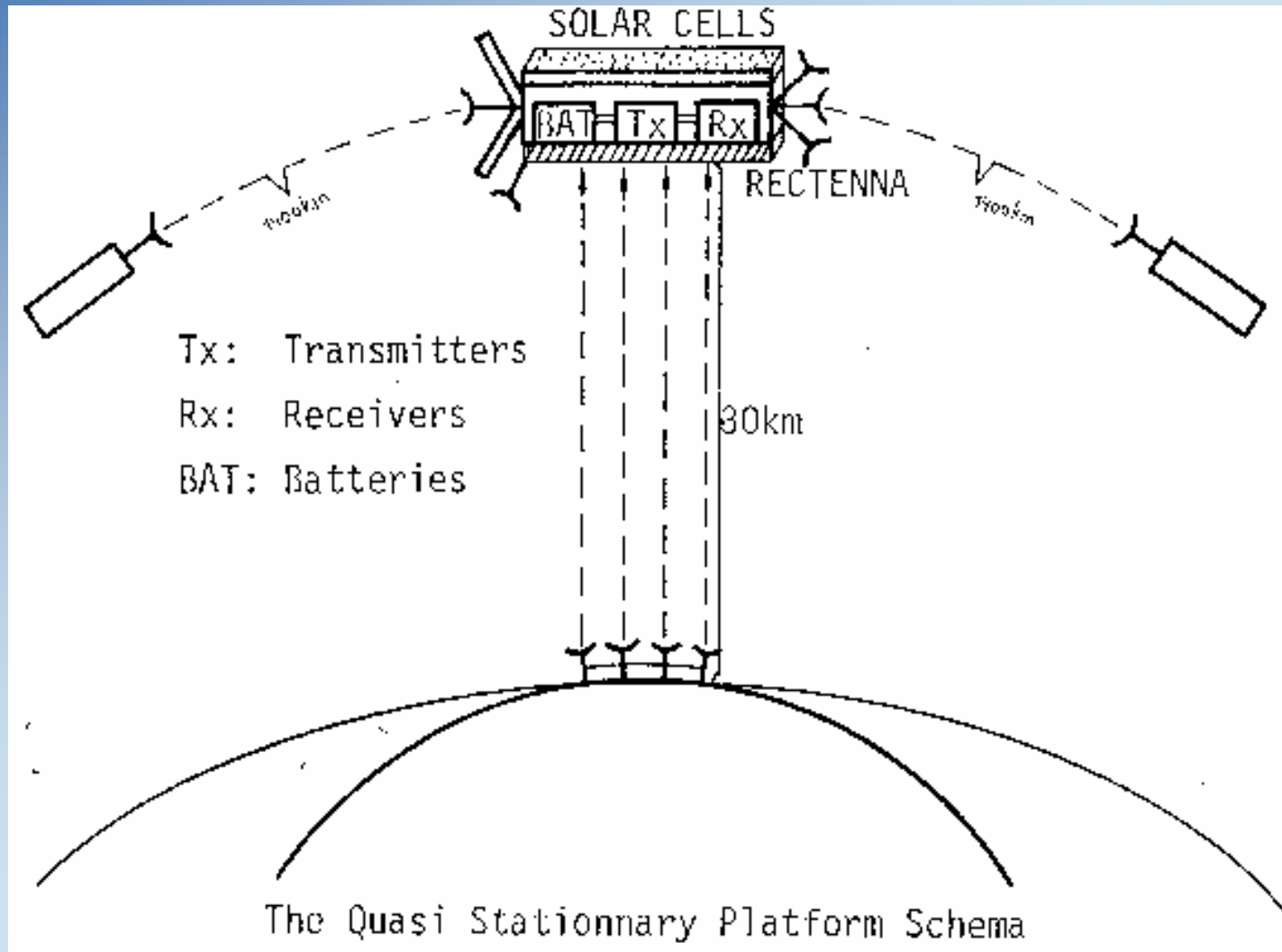
SQSP Advantages on Satellites and Towers

- ✦ Low Cost (Sat. and launching),
Low maintenance Cost.
- ✦ Low Free Space Loss
- ✦ Short Time Delay
- ✦ Low transmitters power Consumption
- ✦ High Reception Sensitivity
- ✦ Large coverage zone and LOS relative to ground communication. Less than for satellites
- ✦ One HAP can replace more than 400 terrestrial towers

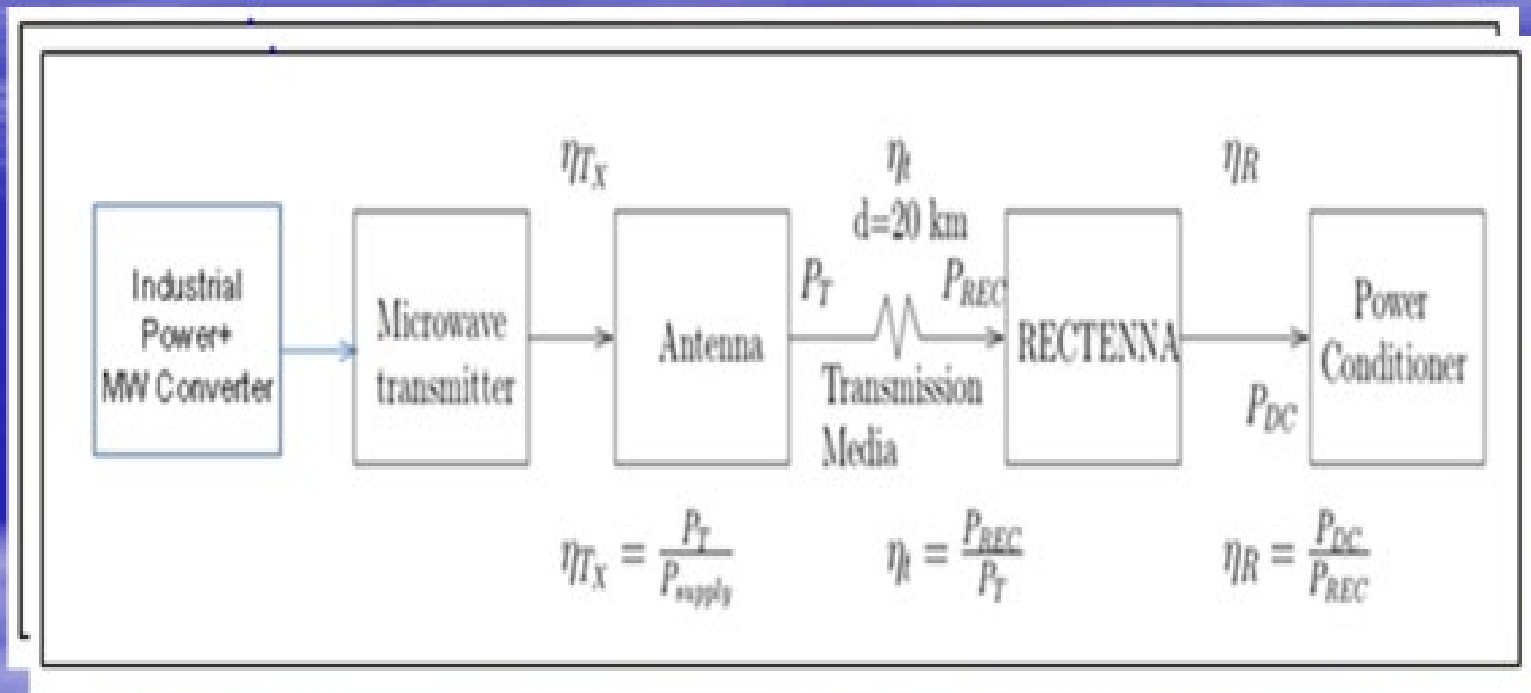
SQSP Disadvantages on Satellites and Towers

- ✦ Less Energy from Solar Cells than from Satellites
- ✦ More vulnerable to attacks than satellites.
- ✦ More vulnerable to Jamming than satellites
- ✦ Penetrate Airspace
- ✦ Not Yet Mature Technology

SQ-SP שמקבלים אנרגיה MW מן הקרקע



Block Diagram of a Typical Long Distance MW WPT System



מערכות גלובליות להתראה מאיומים

- ✦ כיום למעצמות העל מערכות התראה גלובליות מטילים, כטב"מים ואיומים אחרים
- ✦ ישראל נעזרת במערכת SBIRS של ארה"ב שמאוד יקרה ומורכבת מהרבה לוויינים במסלולים שונים
- ✦ המערכת לא פעלה באסון של 7 לאוקטובר אבל מאוד עזרה לנו בהתקפות הטילים מאירן
- ✦ ארה"ב מפתחת על בסיס Ai ו ML מערכת OPIR Overhead Persistent Infrared גלובליות
- ✦ הוספת מערכות אזוריות SQSP מוזנות באמצעות אלחוט באנרגיה מן הקרקע או מלוויינים עשויה לתרום לשפור מערכות OPIR, שמירת הגבולות ומטרות אחרות

ביבליוגרפיה

1. Y. Djuknic, G.M.; Freidenfelds, J.; Okunev Establishing wireless communications services via High-Altitude Aeronautical Platforms: A concept whose time has come? IEEE Communication Magazine. 1997, 35, pp (128–135).
2. J. Gavan, S. Tapuchi and D. Grace, "Concepts and Main Applications of High-Altitude-Platforms Radio Relays," The Radio Science Bulletin, 330, September 2009, pp. (20-31).
3. J. Gavan, D. Grace, R. Struzak, "Special Section on High-Altitude Platforms", The Radio Science Bulletin, N. 332, March 2010, PP (3 -50)
4. J. Gavan, S. Tapuchi, "Microwave Wireless Power Transmission to High-Altitude Platform Systems", Radio Science Bulletin, N 334, September 2010 pp 25-42.
5. R.B. Vaganov, I.P. Korshunov, E.N. Korshunova. On a Technique for Supplying Power to Global Radio Relays for High-Altitude Platforms by Means of Microwave Beams, Radio Science Bulletin No 338 (September 20 11) pp25-31.
6. Bo Yang; Xiaojie Chen; Jie Chu; Tomohiko Mitani; Naoki Shinohara A 5.8-GHz Phased Array System Using Power-Variable Phase-Controlled Magnetrons for Wireless Power Transfer, IEEE MTT Transactions, Nov. 2020
7. Deutsche Telekom, 5G HAPS Demo in the Kingdom of Saudi Arabia Demo report summary, Feb 2022
8. J. Gavan, M. Haridim, Evolution of Long Distances Directed Energy Systems for Commercial and Military Applications, IEEE COMCAS, June 2024

ביבליוגרפיה - המשך

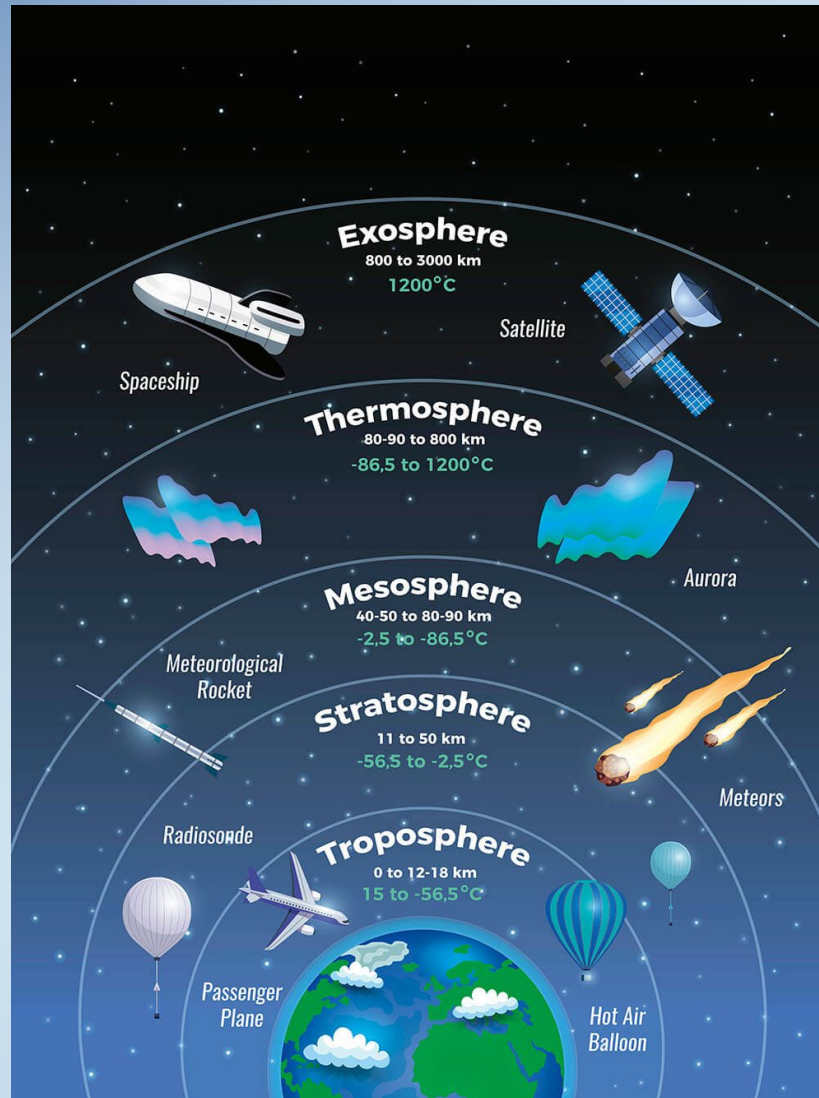
9. Theresa Hitchens, The Army is seeking industry input to help it determine how best to deploy intelligence, surveillance, and reconnaissance payloads on very-altitude drones. Breaking Defense, Oct.12.2022
10. A. Decker, Hamas attack shows space-based sensing can't see everything, C4ISRnet, Oct, 12 .23.
11. T. Hitchens, Army about to formalize 'micro-high altitude balloons' as a new requirement for surveillance ops, Breaking Defense, October 16.24

12. פרופסור יעקב גוון "אנרגיה מכוונת כהשלמה למערכות הקינטיות הקיימות כדי לשפר ההגנה מפני רחפנים וטילים עוינים". (52-55) pp Sept. 2021 New-Tech. Magazine

13. פרופסור יעקב גוון ו אלי רכט, "מערכות אנרגיה מכוונת באמצעות לייזר ומיקרוגל", עיתון מהנדסי חשמל ואנרגיה, גיליון 94, נובמבר 2022

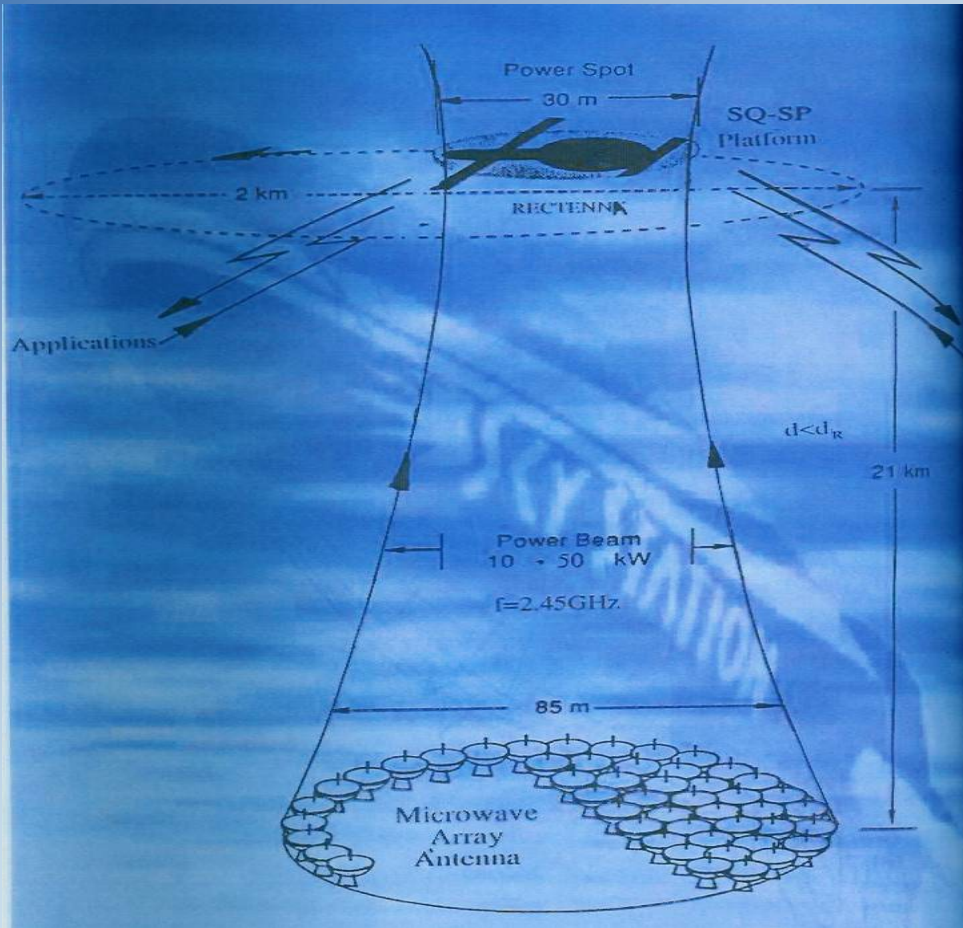
14. גיא שאול, מאור קיירה, אירנה ברונפמן MSc ופרו' יעקב גוון (HIT) המכון הטכנולוגי (חולון). " לוויינים להתראה מטילים" 2024 Q3 NEW TECH . MILITARY MAGAZINE pp. (38-43)

**Thank
you**



Suitable Frequency for SQSP

- ✦ 5.8 GHz ISM band. Require big surface of ground and stratospheric antennas
- ✦ 24.25 GHz ISM band. Moderate Atmospheric Losses
- ✦ 35 GHz Atmospheric Window. Low Atmospheric Losses
- ✦ 94 GHz Atmospheric Window. Higher Atmospheric Losses



EMROD Worldwide Energy Matrix (WEM) to move Energy from regions of supply to consumption points, A future project: Beam Renewable Energy from Dubai to Japan



Comparison between Gaussian and Rayleigh Tappers



Figure 2a. The three-dimensional field-intensity distributions on the rectenna for the Gaussian beam.

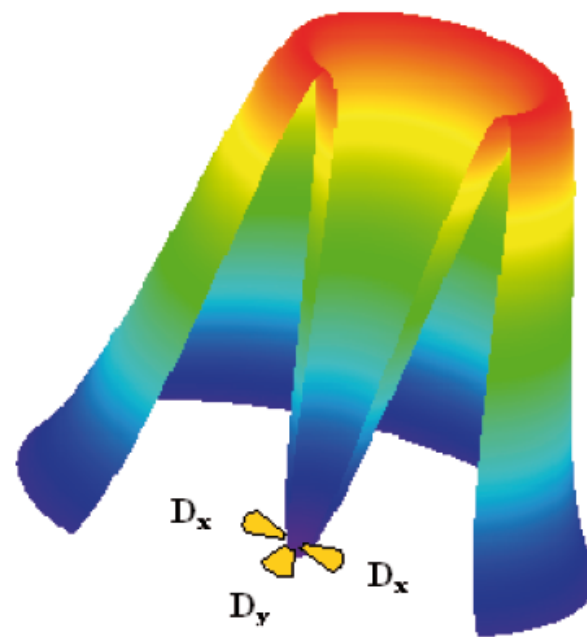
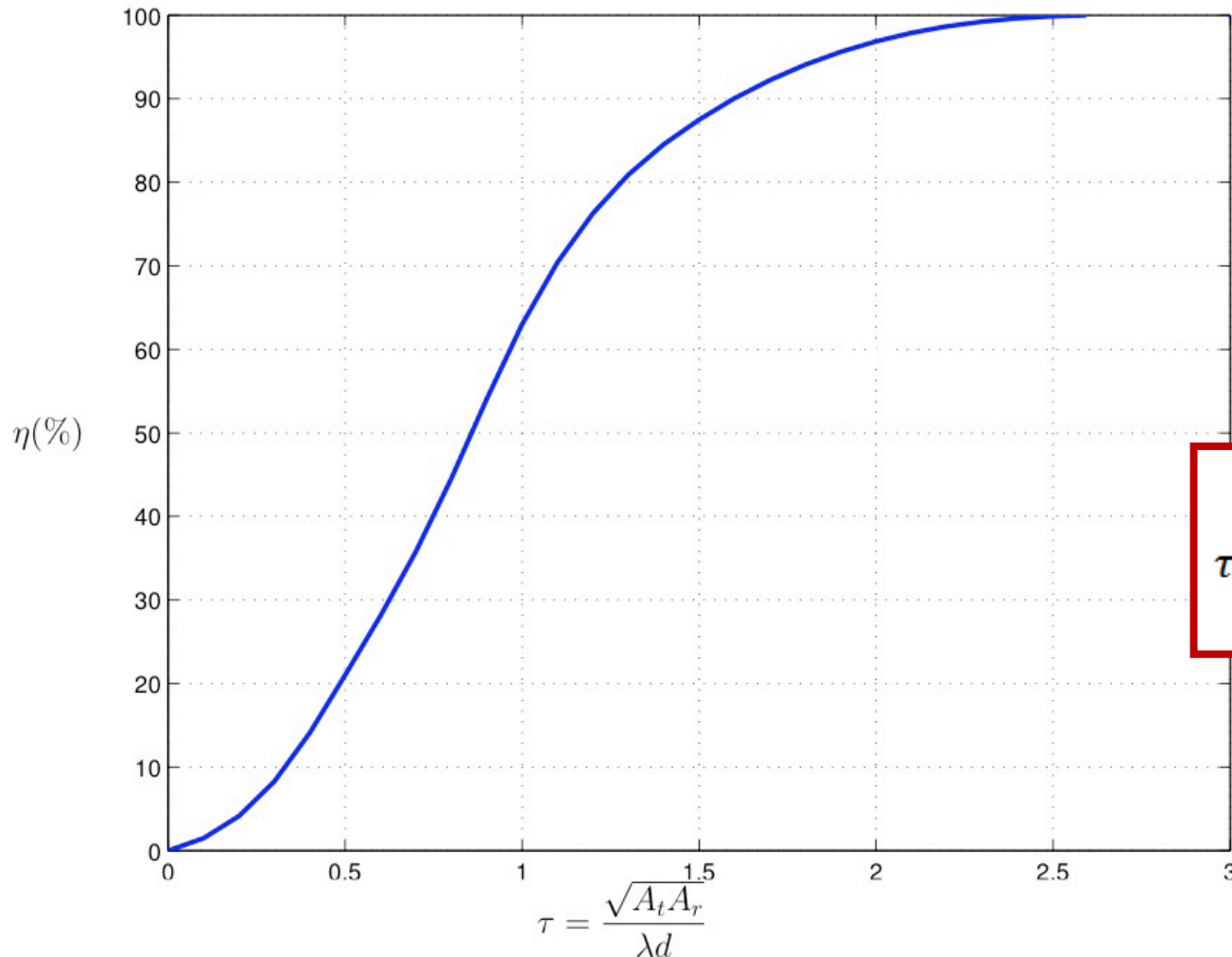


Figure 2b. The three-dimensional field-intensity distributions on the rectenna for the Rayleigh beam: D_x and D_y are the quadrupole sensors.

Empirical Power Transmission Efficiency as function of tau (Goubau and W. C. Brown)



$$\eta_{t,r} = 1 - e^{-\tau^2}$$

$$\tau = \frac{10f(\text{GHz})\sqrt{A_t A_r}}{3d}$$

$$\tau = \frac{2.5f(\text{GHz})D_{T(m)}D_{R(m)}}{d(m)}$$

Numerical values of the required aperture antennas, MW beam and HAP RECTENNAS areas as function of power transmission efficiency, aperture, and frequency.

MW WPT Areas		Terrestrial d=10,000m		HAPS d=20,000m		SPS d=36000000m	
Frequency band		$\eta_T=60\%$	$\eta_T=95\%$	$\eta_T=60\%$	$\eta_T=95\%$	$\eta_T=60\%$	$\eta_T=95\%$
2.45 GHz	$A_r=A_t$ (m ²)	1224	2203	2448	4406	4.4×10^6	7.9×10^6
	$D_r=D_t$ (m)	44.1	59.2	62.4	83.7	2650	3550
5.8 GHz	$A_r=A_t$ (m ²)	517	931	1034	1862	1.9×10^6	3.4×10^6
	$D_r=D_t$ (m)	28.7	38.5	40.6	55.1	1750	2350
35 GHz	$A_r=A_t$ (m ²)	86	155	172	310	0.31×10^6	0.56×10^6
	$D_r=D_t$ (m)	11.7	15.3	16.5	22.2	705	950
94 GHz	$A_r=A_t$ (m ²)	32	58	64	116	0.11×10^6	0.2×10^6
	$D_r=D_t$ (m)	7.2	9.7	10.1	13.6	470	570

Table: The HAPS MW WPT antenna aperture: D_T , A_T and S_T for 200kW transmitted power as function of f in case of maximum power transmission efficiency (fig.6).

f (GHz)	2.45	5.8	24.5	35	94
D_T (m)	70	45.5	22.1	18.5	11.3
A_T (m²)	3850	1625	385	270	100
S_T (W/ m²)	52	123	520	740	2000

$$D_t \text{ (m)} = (d_r \text{ (m)} \times 0.6 / f \text{ (GHz)})^{0.5}$$

Dt (with HAPs $d_r=20000\text{m}$ and $F=5.8\text{GHz}$.)

Therefore $D_t=45\text{m}$

Diameters as function of frequency and elevation

Ratio 1:1	<u>Dr=Dt</u>			
	f1= 2.45GHz	f2= 5.8GHz	f3= 35GHz	f4= 94GHz
1000 meter	12.17	7.91	3.22	1.96
20000 meter	54.42	35.37	14.49	8.79
Ratio 2:1	<u>2Dr=Dt</u>			
<u>Dt</u> 1000 meter	17.21	11.19	4.55	2.78
<u>Dt</u> 20000 meter	76.97	50.03	20.36	12.43
Dr 1000 meter	8.61	5.59	2.28	1.39
Dr 20000 meter	38.49	25.01	10.18	6.21

Atmospheric Losses (dB) as function of rain intensity and percentage of time Using MATLAB 2016a and Israel average climate data rain pl function (2)

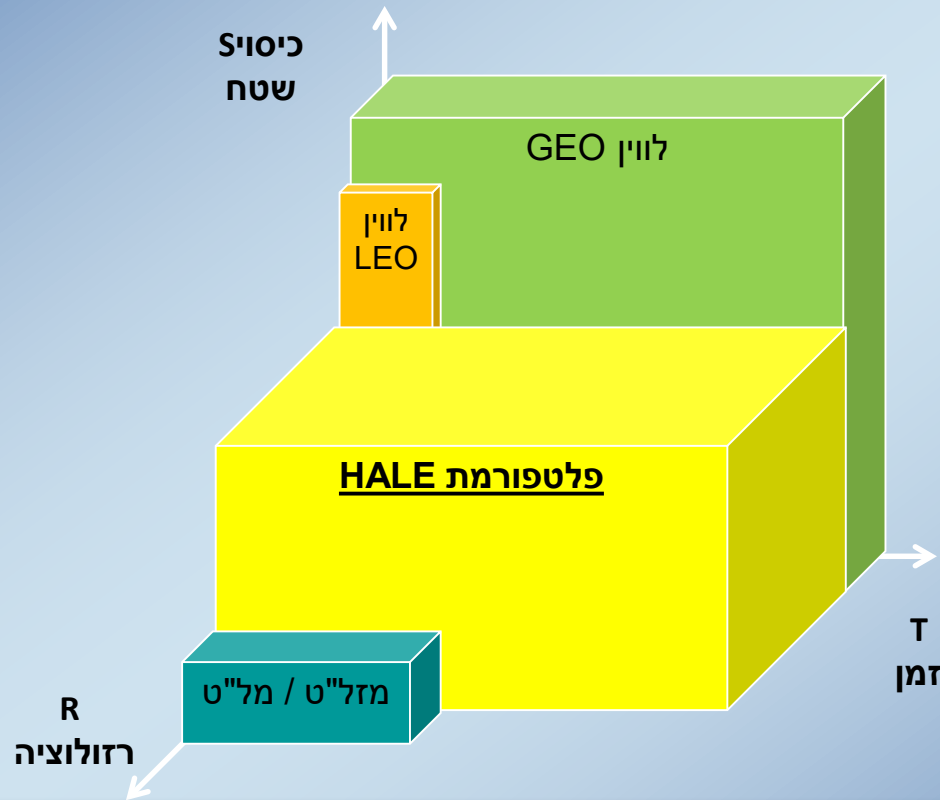
Atmospheric Losses (dB) for a HAP at an altitude of 20000m and a distance of 3000m through rain if the angle of transmission is 87.13 degree:

Percentage of time (%)	F – Region mm/h	2.45 GHz [dB]	5.8 GHz [dB]	35 GHz [dB]	94 GHz [dB]
1.0	1.7	0.007	0.003	1.46	5.23
0.3	4.5	0.002	0.02	3.46	10.16
0.1	8	0.004	0.04	5.75	15.00
0.03	15	0.007	0.1	9.97	22.87
0.01	28	0.013	0.27	17.04	34.37
0.003	54	0.024	0.72	28.99	51.11
0.001	78	0.033	1.21	37.59	61.47

Global Mobile (SAT) system

- ✦ Geostationary satellite (SAT) systems (Hughes)
- ✦ Small Low Earth Orbit (LEO) Sat. Systems (ORBCOMM)
- ✦ Big LEO Sat. Systems (Iridium)
- ✦ G.P.S – Global Positioning System
- ✦ Quasi-Stationary Stratospheric Platforms (HAP)

פלטפורמת HALE כמשלים ללווין ולמל"ט



T*S*R מפרמטר מבצעי מכפלה :

פלטפורמת HALE משלימה את האמצעים הקיימים היום (לווין, מל"ט) מאפשרת: רציפות בזמן, כיסוי רחב, רזולוציה גבוהה / ניחות נמוך, השהיות נמוכות ובעלויות נמוכות

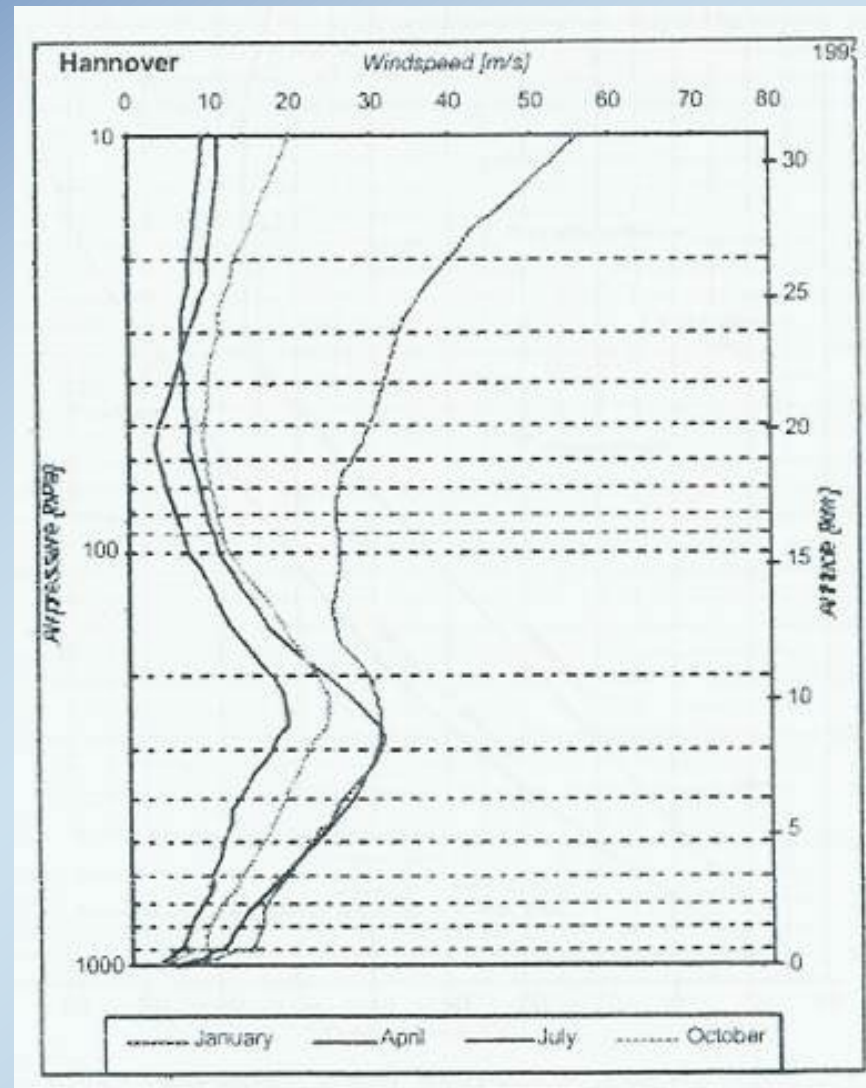
HAPS Commercial Applications

- ✦ **Radio Communication, Cellular 5 and 6G backup, Improved WIMAX**
- ✦ **Audio and TV Broadcast (HDTV included),**
- ✦ **Local Communication services: Broadband internet, High rate data transfer**
- ✦ **Remote sensing and Imaging**
- ✦ **Wild fire and air pollution detection**
- ✦ **Weather Forecasting.**
- ✦ **Air and Terrestrial traffic Monitoring**
- ✦ **Differential GPS (DGPS)**
- ✦ **Scientific Applications.**

HAPS Home Security and Military Applications

- ✦ Communication – Large coverage & High throughput & Low delay
 - Regional & Maritime and submarine Communication
 - Tactical Backbone
 - Emergency Communication
 - Tele operated platform
- ✦ Persistent Surveillance - Real Time & High Resolution & Large coverage
 - Border Surveillance+ Monitoring Enemy Activities !!
 - Missile Warning
 - Surveillance of Pollution, Chemical and Biological Threats
- ✦ Precision Location & Navigation

The wind velocity over Hanover



Detailed block diagram of a typical MW WPT system feeding a SQSP

